



سنجش از دور

GIS ایران



سنجش از دور و GIS ایران سال هفتم، شماره سوم، پاییز ۱۳۹۴
Vol.7, No. 3, Autumn 2015

۹۷-۱۱۴

بهبود طبقه‌بندی بدون نظارت تصاویر فرآنی با استفاده از مدل خوشبندی فازی Gustafson-Kessel

حیدر عزت‌آبادی‌پور^{۱*}، سعید همایونی^۲

۱. مریبی رشتۀ مهندسی نقشه‌برداری، دانشکده مهندسی عمران، دانشگاه صنعتی سیرجان
۲. استادیار، گروه جغرافیا، مطالعات محیطی و زئوماتیک، دانشگاه آتاآ

تاریخ پذیرش مقاله: ۱۳۹۵/۱/۳۱

تاریخ دریافت مقاله: ۱۳۹۴/۲/۲۱

چکیده

مدل‌های خوشبندی c-means یکی از پرکاربردترین شیوه‌های طبقه‌بندی نظارت‌نشده در آنالیز داده‌ها به شمار می‌رود. مدل فازی این روش، یعنی Fuzzy c-means، یکی از مشهورترین مدل‌هایی است که در آن هر داده با یک مقدار درجهٔ عضویت بین ۰ و ۱، به هر یک از خوشبندی‌ها اختصاص داده می‌شود. این مدل خوشبندی جهت طبقه‌بندی داده‌های سنجش از دوری بسیار استفاده شده است. مدل Fuzzy c-means از فاصلهٔ اقلیدسی جهت خوشبندی استفاده کرده و برای همهٔ خوشبندی‌ها شکل یکسانی فرض می‌کند. با وجود این، این مدل برای داده‌هایی که در آن‌ها کلاس‌ها دارای شکل و حجم متفاوت‌اند، مناسب به نظر نمی‌رسد. برای رفع این مشکل، مدل Gustafson-Kessel جهت خوشبندی داده‌های پیچیده ارائه شده است. این مدل بر مبنای به‌کارگیری یک ماتریس کوواریانس فازی برای هر خوشبندی عمل می‌کند و شکل هندسی، حجم و جهت‌گیری یکسانی برای همهٔ خوشبندی‌ها در نظر نمی‌گیرد. در این تحقیق، از هر دو مدل خوشبندی مذکور جهت داده‌های سنجش از دوری فرآنی واقعی حاصل از سنجنده‌های Hyperion و ROSIS استفاده شده است. نتایج حاصل از مدل‌های خوشبندی Fuzzy c-means Gustafson-Kessel و Gustafson-Kessel با پارامتری به نام فازی‌کننده وابسته است که در این تحقیق، مقدار بهینه آن با محاسبه و بررسی دقت طبقه‌بندی هر یک از این مدل‌ها، در ازای فازی‌کننده‌های مختلف بدست آمده است. نتایج بدست آمده در ازای مقدار بهینه فازی‌کننده، نشان می‌دهد که مدل Gustafson-Kessel دقت و صحت طبقه‌بندی را حدود ۱۲/۵٪ برای داده‌های Hyperion و حدود ۸/۴۵٪ برای داده‌های ROSIS افزایش می‌دهد. همچنین، ارزیابی دیداری نتایج دو مدل خوشبندی روی داده‌های CASI نشان می‌دهد که مدل Gustafson-Kessel عملکرد بهتری دارد. البته در مقابل، باید گفت مدل Gustafson-Kessel هزینه زمانی بیشتری را صرف می‌کند و همچنین، جهت تعیین پارامتر مربوط به حجم خوشبندی، به داشت قابل نیاز دارد.

کلید واژه‌ها: خوشبندی فازی، مدل خوشبندی فازی Gustafson-Kessel، تصاویر فرآنی.

* نویسنده عهده‌دار مکاتبات: سیرجان، ابتدای جاده بافت، دانشگاه صنعتی سیرجان، کد پستی: ۷۸۱۳۷۳۳۸۵ - تلفن ثابت: ۰۳۴-۴۲۲۴۲۱۱۶ - همراه: ۰۹۱۳۳۷۹۲۹۴۱
Email: hezzatabadi@sirjantech.ac.ir

۱- مقدمه

طبقه‌بندی ناظرت‌نشده تصاویر سنجش از دوری دارد. این نوع خوش‌بندی اغلب از الگوریتم‌های بهینه‌سازی تناوبی^۱ جهت تشکیل خوش‌ها استفاده می‌کند و از طریق نمونه‌های اولیه^۲ و اندازه‌گیری فاصله، می‌تواند داشت راجع به شکل یا اندازه خوش‌ها را در خود جای دهد (Tsai et al., 2002).

روش‌های خوش‌بندی جزء‌بندی را می‌شود به دو دسته تقسیم کرد: خوش‌بندی قطعی یا سخت که هر داده فقط به یک خوش‌هه تعلق دارد و خوش‌بندی فازی یا نرم که در آن هر داده به یک خوش‌هه معین با یک مقدار عضویت بین ۰ و ۱ تعلق دارد. وقتی که مرز بین خوش‌هه واضح و مشخص نیست و یک داده به بیش از یک خوش‌هه تعلق دارد، خوش‌بندی فازی مناسب‌تر به نظر می‌رسد. این شرایط در تصاویر سنجش از دوری به فراوانی مشاهده می‌شود.

پژوهش‌های بسیاری روی استفاده از روش‌های خوش‌بندی، جهت طبقه‌بندی تصاویر چندطیفی ارائه شده است (Rosenberger and Chehdi, 2003)، (Fana et al.,) (Jie et al., 2008) (Tran et al., 2003) (Lu et al., 2014) در دهه اخیر، در زمینه طبقه‌بندی تصاویر فراطیفی با استفاده از روش‌های خوش‌بندی نیز، (Xie and Zhang, 2012)، (Naeini et al., 2013)، (Aydav and Minz, 2014)

یکی از پرکاربردترین روش‌های خوش‌بندی، خانواده خوش‌بندی c-means است که جهت آنالیز تصاویر سنجش از دوری نیز در زمینه‌های گوناگون کاربرد دارد. مدل Fuzzy c-means (FCM) یک روش خوش‌بندی فازی و از موفق‌ترین مدل‌های خانواده خوش‌بندی c-means است. این مدل از فاصله اقلیدسی برای اندازه‌گیری نزدیکی پیکسل‌های تصویری و مراکز

یکی از روش‌های اصلی استخراج اطلاعات از تصاویر سنجش از دوری، طبقه‌بندی است. با توجه به اینکه سنجنده‌های فراطیفی، تصاویر را در صدها باند طیفی باریک و پیوسته ثبت می‌کنند، برای پیکسل‌های مربوط به مواد گوناگون روی سطح زمین، مقادیر مختلف و متنوعی از درجات خاکستری تولید می‌شود. از این رو، یکی از موقوفیت‌آمیزترین کاربردهای تصاویر فراطیفی، طبقه‌بندی و تولید نقشه پوشش زمین است (Shah et al., 2013). روش‌های طبقه‌بندی را می‌شود بر این اساس، که آیا از داده‌های آموزشی برای آنالیز تصویر استفاده می‌کنند یا خیر، به دو گروه روش‌های ناظرت‌شده و ناظرت‌نشده تقسیم‌بندی کرد.

اگر چه روش‌های ناظرت‌شده در مقایسه با روش‌های ناظرت‌نشده همواره به نتایج بهتری در طبقه‌بندی تصاویر سنجش از دوری منجر می‌شوند، جمع‌آوری داده‌های آموزشی در روش‌های ناظرت‌شده، در هر صورت، مشکلی عمده محسوب می‌شود زیرا هزینه‌بر و زمان‌بر است. در صورتی که روش‌های ناظرت‌شده برای طبقه‌بندی داده‌های تصویری فراطیفی، به دلیل افزایش تعداد باندهای طیفی، به تعداد داده‌های آموزشی بیشتری نیاز دارند. از این رو، با توجه به دشواری مضاعف جمع‌آوری داده‌های آموزشی در تصاویر فراطیفی، طبقه‌بندی آن‌ها با استفاده از روش‌های ناظرت‌نشده، ضروری به نظر می‌رسد.

خوش‌بندی یکی از روش‌های اصلی طبقه‌بندی ناظرت‌شده است که هدف در آن عبارت است از بیشینه کردن شباهت بین داده‌های داخل-کلاسی^۳ و کمینه کردن شباهت بین داده‌های بین-کلاسی^۴. خوش‌بندی در حوزه‌هایی مانند داده‌کاوی، فرآگیری ماشین، زیست‌شناسی و آمار پایه کاربرد دارد. این روش در حوزه‌های مختلفی از قبیل تجارت، شناسایی الگو، ارتباطات، زیست‌شناسی، فیزیک، نجوم و غیره مورد استفاده قرار گرفته است. در میان روش‌های خوش‌بندی، روش جزء‌بندی^۵ اهمیت ویژه‌ای در

- 1. intra-class
- 2. inter-class
- 3. partitioning
- 4. alternating optimization
- 5. prototypes

کمینه کردن یکتابع هدف، در پی برآورد یک طبقه‌بندی بهینه‌اند (Timm et al., 2004). در خوشبندی مبتنی بر تابع هدف، عموماً هر خوشبندی به وسیله یک نمونه اولیه مدل می‌شود که اغلب فقط شامل مرکز خوشبندی است. به عبارت دیگر، نماینده هر خوشبندی میانگین داده‌های وابسته به آن خوشبندی خواهد بود. این نوع خوشبندی را می‌شود به صورت زیر ارائه کرد:

- ورودی: مجموعه داده $X = \{\vec{x}_1, \dots, \vec{x}_n\} \subseteq R^p$

n : تعداد داده‌ها p : بعد داده‌ها

- خروجی: ماتریس جزء‌بندی U و ماتریس مراکز خوشبندی V

c : تعداد خوشبندی‌ها ($1 < c < n$)

$$U = \begin{bmatrix} u_{11} & \cdots & u_{1n} \\ \vdots & \ddots & \vdots \\ u_{c1} & \cdots & u_{cn} \end{bmatrix}, V = \begin{bmatrix} v_{11} & \cdots & v_{1p} \\ \vdots & \ddots & \vdots \\ v_{c1} & \cdots & v_{cp} \end{bmatrix}$$

- هدف: بیشینه کردن شباهت داخل خوشبندی‌ها و کمینه کردن شباهت بین خوشبندی‌ها

۱-۲- مدل خوشبندی FCM

مدل خوشبندی FCM، از سوی Dunn (1973) ارائه و به وسیله Bezdek (1981) توسعه داده شد. در این مدل، هدف کمینه کردن تابع هدف مقید زیر است

رابطه (۱)

$$\min_{(U, V)} \{J_m(U, V; X) = \sum_{k=1}^n \sum_{i=1}^c u_{ik}^m \| \vec{x}_k - \vec{v}_i \|^2 \}$$

تحت شروط:

$$\sum_{k=1}^n u_{ik} > 0, \quad \forall i \quad \text{رابطه (۲)}$$

$$\sum_{i=1}^c u_{ik} = 1, \quad \forall k \quad \text{رابطه (۳)}$$

در رابطه (۱)، u_{ik} مقدار عضویت داده $\vec{x}_k \in R^p$ به

آنمین خوشبندی $\vec{v}_i \in R^p$ مرکز آمین خوشبندی، و $\|\vec{x}_k - \vec{v}_i\|^2$ مربع فاصله اقلیدسی بین \vec{x}_k و \vec{v}_i است.

ماتریس‌های مرکز خوشبندی و جزء‌بندی فازی‌اند. پارامتر m فازی‌کننده^۲ نامیده می‌شود. این پارامتر

1. hyperspherical
2. fuzzifier

خوشبندی استفاده می‌کند و بالطبع، خوشبندی با شکل یکسان و ابرکره^۱ تولید می‌کند. مدل دیگر خانواده Gustafson- c-means، مدل خوشبندی Gustafson- Kessel (GK) است که این مدل از یک نرم جدید برای اندازه‌گیری نزدیکی پیکسل‌های تصویری و مراکز خوشبندی استفاده می‌کند. مدل خوشبندی GK حجم، شکل و جهت‌گیری متفاوتی برای هر یک از خوشبندی‌ها در نظر می‌گیرد.

مدل خوشبندی GK، پیش‌تر، از سوی چندین محقق برای طبقه‌بندی تصاویر چندطبیفی و تهیه نقشه کاربری مورد استفاده قرار گرفته است (Turčan, (Sadykhov et al., 2009), (Jie et al., 2008), (2003) اما در زمینه طبقه‌بندی تصاویر فراتیفی با استفاده از مدل خوشبندی GK تحقیقات زیادی انجام نشده است. از این رو، ضروری به نظر می‌رسد در این زمینه مطالعه بیشتری صورت پذیرد. در همین راستا، در این تحقیق، مدل خوشبندی GK جهت خوشبندی تصاویر فراتیفی برای تولید نقشه‌های کاربری ارزیابی می‌شود و نتایج آن با مدل خوشبندی FCM مقایسه خواهد شد. از آنجاکه تصاویر فراتیفی داده‌های پیچیده‌ای‌اند و عموماً کلاس‌هایی با شکل و حجم متفاوت دارند، به نظر می‌رسد مدل خوشبندی GK بتواند نتایج طبقه‌بندی را بهبود بخشد.

این مقاله شامل چهار بخش است. در بخش نخست، به مقدمه‌ای کوتاه درباره انتگریه، هدف و بیان مسئله تحقیق و روش کار پرداخته شده است. در بخش دوم، مبانی نظری مدل‌های خوشبندی مورد استفاده بیان می‌شود. بخش سوم، در برگیرنده پیاده‌سازی مدل‌های خوشبندی و ارزیابی آن‌ها خواهد بود. در آخر و در بخش چهارم، نتیجه‌گیری‌ها ارائه می‌شود.

۲- مدل‌های خوشبندی جزء‌بندی فازی

روش‌های خوشبندی جزء‌بندی اغلب بر مبنای تابع هدف‌اند و از الگوریتم‌های بهینه‌سازی تناوبی برای تشکیل خوشبندی استفاده می‌کنند. این الگوریتم‌ها با

$$\vec{v}_i = \frac{\sum_{k=1}^n u_{ik}^m \vec{x}_k}{\sum_{k=1}^n u_{ik}^m}, \quad 1 \leq i \leq c \quad (6)$$

رابطه (۵) با کمینه کردن تابع هدف J_m در ازای V ثابت و شرط (۳) و رابطه (۶) با کمینه کردن تابع هدف FCM در ازای U ثابت به دست می‌آید. در مدل J_m زمانی مشکل تکینگی رخ می‌دهد که در یک تکرار، یک چند فاصله برابر با صفر باشد ($0 = \|\vec{x}_i - \vec{v}_i\|$). هنگامی که این مشکل تکینگی رخ می‌دهد، نمی‌شود u_{ik} را با رابطه (۵) محاسبه کرد. در این حالت که عملاً به‌ندرت اتفاق می‌افتد، باید به هر u_{ik} که $\|\vec{x}_i - \vec{v}_i\| > 0$ است، مقدار صفر اختصاص داده شود و مقادیر غیرصفر عضویت در میان i -ها یعنی که $\|\vec{x}_i - \vec{v}_i\| = 0$ است، تحت شروط (۲) و (۳)، به‌طور دلخواه توزیع شوند.

۲-۲- مدل خوش‌بندی GK

مدل خوش‌بندی GK را Gustafson و Kessel (1979) ارائه کردند. در این مدل نیز هدف کمینه کردن تابع هدف محدود زیر، تحت شروط (۲) و (۳) است

$$\min_{(U, V)} \left\{ J_m(U, V, \{M_i\}; X) = \sum_{k=1}^n \sum_{i=1}^c u_{ik}^m (\vec{x}_k - \vec{v}_i)^T M_i (\vec{x}_k - \vec{v}_i) \right\} \quad (7)$$

در رابطه بالا، $(\vec{x}_k - \vec{v}_i)^T M_i (\vec{x}_k - \vec{v}_i)$ نرم فاصله تطبیقی^۱ است که در آن M_i یک ماتریس متقاضان و مثبت-معین است (Abonyi and Feil, 2007). توجه کرد که در رابطه (7) تابع هدف J_m نسبت به M_i خطی است و با انتخاب M_i کوچکتر، به سادگی می‌شود تابع هدف J_m را به میزان دلخواه کمینه کرد (Gustafson and Kessel, 1979). بنابراین، کمینه‌سازی J_m نسبت به M_i به‌طور مستقیم امکان‌پذیر نیست و دچار مشکل تکینگی می‌شود (Abonyi and Feil, 2007). برای

میزان فازی بودن خوش‌بندی را تعیین می‌کند. ممکن است هر عدد حقیقی بزرگ‌تر مساوی با ۱ باشد که در ازای مقادیر بالای m مرز بین خوش‌ها غیردقیق-تر، و در ازای مقادیر پایین m مرز بین خوش‌ها مشخص‌تر می‌شود. معمولاً $m=2$ انتخاب می‌شود (Timm et al., 2004).

رابطه شرط (۲) ضمانت می‌کند که هیچ خوش‌های خالی نباشد و از سوی دیگر، رابطه شرط (۳) تضمین می‌کند که مجموع عضویت‌ها برای هر داده برابر ۱ باشد. تابع هدف J_m را نمی‌شود به‌طور مستقیم کمینه کرد. از این‌رو، کمینه‌سازی تقریبی J_m به وسیله Pal et al., (2005) الگوریتم تکراری FCM-AO انجام می‌شود. این الگوریتم برمنای تکرار شرایط لازم برای کران‌های محلی J_m است. پس از اعمال شرط (۳) می‌شود از طریق نظریه ضرایب لاغرانژ شرایط لازم برای کران‌های محلی J_m را به دست آورد. در این حالت، تابع هدف بسط‌داده شده با ضرایب لاغرانژی به‌صورت زیر بیان می‌شود

رابطه (۴)

$$\begin{aligned} \min_{(U, V, \lambda)} \left\{ J_m(U, V, \lambda; X) = \sum_{(U, V, \lambda)} \right. \\ \left. \sum_{k=1}^n \sum_{i=1}^c u_{ik}^m \|\vec{x}_k - \vec{v}_i\|^2 + \right. \\ \left. \sum_{k=1}^n \lambda_k \left(\sum_{i=1}^c u_{ik} - 1 \right) \right\} \end{aligned}$$

شرایط لازم برای کران‌های محلی تابع هدف J_m به سادگی از طریق برابر با صفر قرار دادن گرادیان رابطه (۴) نسبت به پارامترهای u_{ik} (λ_k ضرایب لاغرانژ) و \vec{v}_i که باید بهینه شوند، استنتاج می‌شود (Bezdek, 1981). اگر $m > 1$ باشد، $\|\vec{x}_k - \vec{v}_i\| > 0$ (به ازای هر i و k) شامل دست‌کم c داده مجزا باشد، آن‌گاه تابع هدف J_m کمینه می‌شود، فقط اگر:

رابطه (۵)

$$u_{ik} = \left(\sum_{j=1}^c \left(\frac{\|\vec{x}_k - \vec{v}_j\|}{\|\vec{x}_k - \vec{v}_i\|} \right)^{\frac{2}{(m-1)}} \right)^{-1}, \quad 1 \leq i \leq c, \quad 1 \leq k \leq n$$

1. adaptive

$$\vec{v}_i = \frac{\sum_{k=1}^n u_{ik}^m \vec{x}_k}{\sum_{k=1}^n u_{ik}^m}, \quad 1 \leq i \leq c \quad (12)$$

در رابطه (۱۰)، F_i ماتریس کوواریانس فازی نامیں خوش است کہ به صورت زیر محاسبہ می شود (Gustafson and Kessel, 1979)

$$\text{رابطه (13)}$$

$$F_i = \frac{\sum_{k=1}^n u_{ik}^m (\vec{x}_k - \vec{v}_i) (\vec{x}_k - \vec{v}_i)^T}{\sum_{k=1}^n u_{ik}^m}, \quad 1 \leq i \leq c$$

پارامتر ρ_i در رابطه (۱۰) بیانگر حجم خوش i است. در صورتی که هیچ دانش قبلی در مورد این پارامتر در دسترس نباشد، به اجراء برای همه خوشها برابر با یک قرار داده می شود. با توجه به رابطه شرط (۸)، این امر باعث می شود که مدل خوشبندی GK به خوشها با حجم تقریباً مساوی بینجامد (Babuška, 2001).

ساختار ویژه ماتریس کوواریانس فازی F_i اطلاعاتی در مورد شکل و جهت‌گیری خوشها در اختیار قرار می دهد. در مدل خوشبندی GK، خوشها به شکل ابریضی^۱ در نظر گرفته می شوند. نسبت جذر مقادیر ویژه F_i بیانگر نسبت طول محورهای ابریضی، و بردارهای ویژه F_i ، بیانگر جهت محورهای ابریضی است (Babuška, 2001). مدل خوشبندی GK برای آشکاری‌سازی خوشها با شکل هندسی متفاوت، مناسب است (Abonyi and Feil, 2007).

۳- پیاده‌سازی

مدل‌های خوشبندی c-means از طریق الگوریتم‌های بهینه‌سازی تناوبی (AO) پیاده‌سازی می شوند. معادلات (۵) و (۶) روابط به روزرسانی عضویت‌ها و مراکز خوشها در الگوریتم FCM-AO هستند. هر تکرار این الگوریتم شامل یک گردش است که به دو حالت امکان انجام شدن دارد:

1. hyperellipsoid

حل این مسئله باید روی M_i ها شرط اعمال کرد. ایده‌ال این است که نرم فاصله تطبیقی در هر بعد از داده‌ها مقیاس‌گذاری متفاوتی را اعمال کند. به عبارت دیگر، بهتر است نرم جدید در شکل خوشها تغییر ایجاد کند اما این نرم بدون محدودیت بزرگ نشود (and Kessel, 1979). این امر فقط با محدود کردن دترمینان ماتریس M_i صورت می‌پذیرد

$$|M_i| = \rho_i, \quad \rho_i > 0 \quad \text{رابطه (8)}$$

در رابطه شرط بالا، ρ_i برای هر خوش ثابت در نظر گرفته می شود. با اعمال شرط (۸) حجم خوشها ثابت می‌ماند اما شکل آن‌ها در جهت کمینه‌سازی J_m تغییر می‌کند. در این مدل نیز شروط (۳) و (۸) از طریق تئوری ضرایب لاغرانژ روی تابع هدف J_m در رابطه (۷) اعمال می شود و تابع هدف به صورت زیر بیان می شود رابطه (۹)

$$\min_{(U, V)} \{J_m(U, V, \lambda, \beta, \{M_i\}; X) =$$

$$\sum_{k=1}^n \sum_{i=1}^c u_{ik}^m (\vec{x}_k - \vec{v}_i)^T M_i (\vec{x}_k - \vec{v}_i) + \sum_{k=1}^n \lambda_k \left(\sum_{i=1}^c u_{ik} - 1 \right) + \sum_{i=1}^c \beta_i (|M_i| - \rho_i) \}$$

شرایط لازم برای کران‌های محلی تابع هدف بالا نیز از طریق برابر با صفر قرار دادن گرادیان رابطه (۹) نسبت به پارامترهای M_i λ_k β_i و u_{ik} که باید بهینه شوند، به دست می‌آید. اگر $(\vec{x}_k - \vec{v}_i)^T M_i (\vec{x}_k - \vec{v}_i) > 0$ $m > 1$ (به ازای هر i و k) و X شامل دست کم c داده مجزا باشد، آن‌گاه تابع هدف J_m کمینه می شود، فقط اگر

$$M_i = (\rho_i |F_i|)^{\frac{1}{m}} F_i^{-1}, \quad 1 \leq i \leq c \quad \text{رابطه (10)}$$

$$\text{رابطه (11)}$$

$$u_{ik} = \left(\sum_{j=1}^c \left(\frac{(\vec{x}_k - \vec{v}_i)^T M_j (\vec{x}_k - \vec{v}_j)}{(\vec{x}_k - \vec{v}_j)^T M_j (\vec{x}_k - \vec{v}_j)} \right)^{\frac{2}{(m-1)}} \right)^{-1}$$

$$1 \leq i \leq c; \quad 1 \leq k \leq n$$

مجموعه داده را دربر دارد

۳. انتخاب c داده در امتداد قطر هایپرباکسی که مجموعه داده را دربر دارد، به طوری که با فواصل یکسان توزیع شده باشند.

برای داده‌های سنجش از دوری، روش سوم منطقی‌تر به نظر می‌رسد. زیرا در این روش، مقادیر اولیه در ناحیه‌ای از فضای چندطیفی یا فراطیفی توزیع شده‌اند که بیشتر کلاس‌های طیفی در آن واقع می‌شوند (Richards, 2012). از سوی دیگر، با این روش همگرایی زودتر حاصل می‌شود. در داده‌های سنجش از دوری، هایپرباکسی که کل فضای طیف را دربر بگیرد، با استخراج مقادیر کمینه و بیشینه روشنایی از روی Richards, 2012) هیستوگرام هر باند طیفی تعیین می‌شود (هیستوگرام هر باند طیفی تعیین می‌شود (در این تحقیق نیز از روش سوم برای مقداردهی اولیه استفاده شده است. با توجه به نزدیکی توزیع داده‌های سنجش از دوری مورد استفاده به توزیع نرمال، حدود ۷۰٪ پیکسل‌های تصویری در هر باند طیفی در بازه $[\bar{\sigma}_k, \bar{\mu}_k - \bar{\sigma}_k]$ واقع می‌شوند. در این تحقیق، محدوده‌های طیفی هایپرباکس موردنظر در هر باند طیفی از طریق این بازه به دست آمده است زیرا اگر از بازه طیفی $[\bar{min}_k, \bar{max}_k]$ استفاده شود، مقادیر اولیه نزدیک به \bar{min}_k و \bar{max}_k تحت تأثیر طیف‌های نویزی و دور از کلاس‌های طیفی قرار می‌گیرند.

پس از تعیین مقادیر اولیه مراکز خوش‌های، با اجرای الگوریتم‌های FCM-AO و GK-AO نتایج خوشبندی به صورت ماتریس جزء‌بندی U به دست می‌آید. این نتایج جهت ارزیابی، باید غیرفازی و به تصاویر خوشبندی تبدیل شوند. برای این منظور، با در نظر گرفتن حداقل مقدار عضویت هر پیکسل، آن پیکسل به یک خوش‌های اختصاص داده می‌شود و یک تصویر خوشبندی به دست می‌آید. روند اجرای الگوریتم‌های FCM-AO و GK-AO در شکل ۱ نشان داده شده است.

۱. $V^{(t-1)} \Rightarrow U^{(t)} \Rightarrow V^{(t)}$: در این حالت، مقداردهی اولیه و پایان‌یابی روی V صورت می‌گیرد و $\|V^{(t)} - V^{(t-1)}\|/(p \times c) \leq \epsilon$ در پایان هر تکرار، کنترل می‌شود.

۲. $U^{(t-1)} \Rightarrow V^{(t)} \Rightarrow U^{(t)}$: در این حالت، مقداردهی اولیه و پایان‌یابی روی U صورت می‌گیرد و $\|U^{(t)} - U^{(t-1)}\|/(n \times c) \leq \epsilon$ در پایان هر تکرار، کنترل می‌شود.

۳. حد آستانه است. هر دو حالت بالا در منابع علمی گوناگون به کار رفته‌اند. نظریه همگرایی در هر دو حالت یکسان است. اما حالت نخست چند مزیت دارد که از آن‌ها، می‌شود به راحت‌تر بودن، پردازش سریع‌تر و نیاز به حجم کمتر حافظه برای ذخیره‌سازی اشاره کرد. مقداردهی اولیه و پایان‌یابی روی U از این جهت سخت‌تر است که هنگام کنترل $\epsilon \leq \|U^{(t)} - U^{(t-1)}\|/(n \times c)$ در پایان هر تکرار، باید تعداد پارامترهای بیشتری به هم نزدیک شوند. در این تحقیق، از الگوریتم FCM-AO در حالت $V^{(t-1)} \Rightarrow U^{(t)} \Rightarrow V^{(t)}$ استفاده شده است.

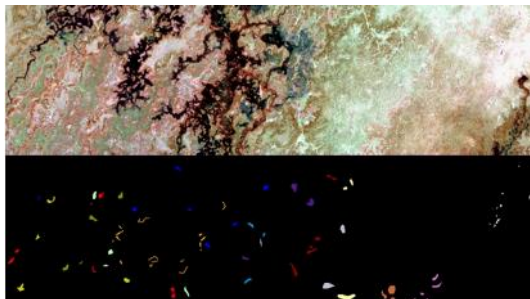
مشابه مدل خوشبندی FCM، معادلات (۱۰)، (۱۱) و (۱۲)، فرمول‌های بهروزرسانی ماتریس‌های $\{M_i\}$ ، عضویت‌ها و مراکز خوش‌های در الگوریتم تکراری FCM-AO هستند. مانند الگوریتم GK-AO در این تحقیق، الگوریتم GK-AO در حالت $V^{(t-1)} \Rightarrow \{M_i\}^{(t-1)} \Rightarrow U^{(t)} \Rightarrow V^{(t)}$ استفاده شده است. در تکرار نخست نیز جهت محاسبه $\{M_i\}^{(0)}$ ، به $U^{(0)}$ نیاز است که از طریق رابطه (۵) در مدل FCM محاسبه شده است.

طبیعت تکراری الگوریتم‌های AO آن‌ها را به مقداردهی اولیه حساس می‌کند و باعث می‌شود این الگوریتم‌ها به کمینه‌های محلی منجر شوند. تاکنون هیچ روش کلی و قطعی برای مقداردهی اولیه ارائه نشده است (Bezdek et al., 1999).

عبارت‌اند از:

۱. انتخاب c داده مجزای نخست مجموعه داده
۲. انتخاب تصادفی c داده از داخل هایپرباکسی که

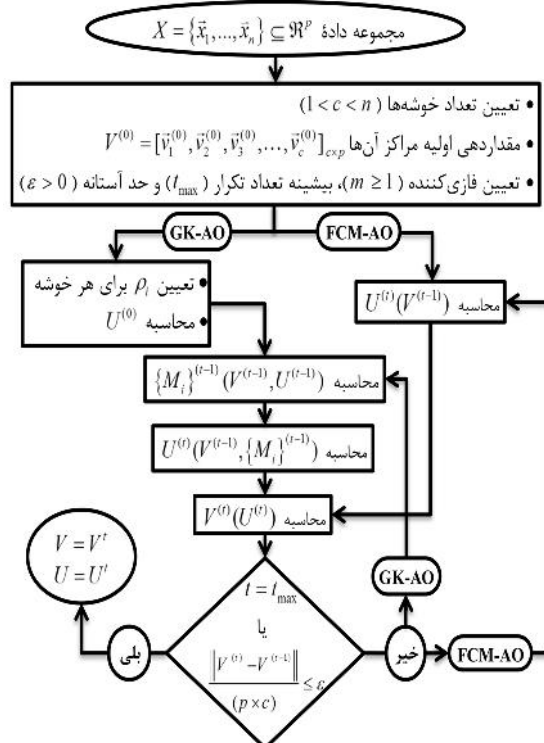
آب را پوشش می‌دهند، حذف شده‌اند و ۱۴۵ باند باقی مانده است که شامل [۱۰، ۵۵-۱۰۲، ۹۷-۸۲] می‌شود. پیش‌پردازش این داده‌ها را مرکز تحقیقات فضایی دانشگاه تگزاس، جهت کاهش آثار نامطلوب آشکارسازها، خطای کالیبراسیون داخلی آشکارسازها و ناهنجاری‌های دورمایی انجام داده است. در منطقه زیرپوشش این تصاویر چهارده کلاس شناسایی شده و داده‌های واقعیت زمینی مربوط به این کلاس‌ها به صورت دستی، با ترکیبی از GPS، تصاویر هوایی و تصاویر چندطیفی IKONOS، با قدرت تفکیک ۲۶ متر، استخراج شده است. داده‌های تصویری منطقه مورد مطالعه و موقعیت مکانی این چهارده کلاس در شکل ۲ نشان داده شده است. جدول ۱ نیز تعداد نمونه و نوع کلاس‌های داده‌های واقعیت زمینی را نشان می‌دهد.



شکل ۲. ترکیب رنگی (RGB) (باندهای ۳۱، ۵۱، ۱۴۹)، و نقشه واقعیت زمینی Hyperion

جدول ۱. تعداد نمونه و نوع کلاس‌های داده‌های واقعیت زمینی در تصویر Hyperion

Code	Class	Sample Size
1	Water	270
2	Hippo Grass	101
3	Floodplain Grasses1	251
4	Floodplain Grasses2	215
5	Reeds1	269
6	Riparian	269
7	Firescar2	259
8	Island Interior	203
9	Acacia Woodlands	314
10	Acacia Shrublands	248
11	Acacia Grasslands	305
12	Short Mopane	181
13	Mixed Mopane	268
14	Exposed Soils	95



شکل ۱. گردش کار الگوریتم‌های GK-AO و FCM-AO

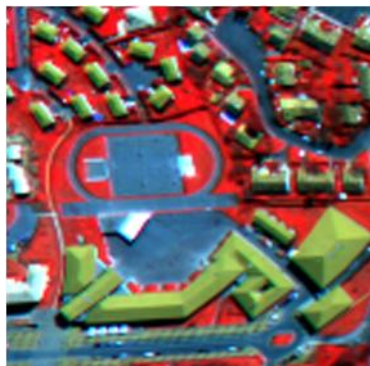
در این تحقیق، از آنجاکه هیچ دانش قبلی در مورد حجم خوشها در دسترس نبوده است، پارامتر ρ در الگوریتم GK-AO برای همه خوشها برابر با یک در نظر گرفته شده است.

۱-۱- داده‌های مورد استفاده

در این مقاله از سه دسته داده تصویری فراتصیفی برای ارزیابی و مقایسه دقت و کارآیی مدل‌های FCM و GK استفاده شده است.

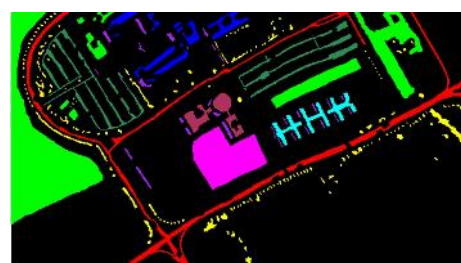
دسته نخست داده‌ها تصویر فراتصیفی اخذ شده به وسیله سنجنده Hyperion است. این تصویر از دلتای Okavango واقع در شمال غرب Botswana (در تاریخ ۳۱ می ۲۰۰۱) گرفته شده و دارای ابعاد تصویری 256×256 پیکسل و قدرت تفکیک مکانی ۳۰ متر است. این داده‌های تصویری دارای قدرت تفکیک طیفی ۲۴۲ باند در گستره طیفی ۴۰۰-۲۵۰۰ نانومترند. باندهای کالیبره نشده و نویزی، که خصوصیات جذبی

مجموعه داده سوم داده‌های تصویری سنجنده CASI است. CASI یک سنجنده هوابرد فراطیفی با قدرت تفکیک طیفی ۲۲۸ باند است که البته می‌شود طبق نیاز کاربر، این تعداد را تغییر داد. باندهای طیفی محدوده‌ای شامل $0.4\text{--}1\text{ میکرومتر}$ را پوشش می‌دهند. قدرت تفکیک مکانی این سنجنده نیز به ارتفاع سکوی حامل بستگی دارد و از ۱۰ تا ۱۰۰ متر متغیر است. تصویر مورد استفاده در این تحقیق در می‌آید، از منطقه شهری تولوز، در جنوب فرانسه، اخذ شده است. این تصویر به ابعاد 128×128 پیکسل، با قدرت تفکیک مکانی ۲ متر و شامل ۳۲ باند طیفی است. برای این داده‌های تصویری، نقشه واقعیت زمینی وجود ندارد و از آن‌ها برای ارزیابی بصری مدل‌های خوش‌بندی پیاده‌سازی شده استفاده شده است. شکل ۴ ترکیب رنگی کاذب این تصویر را نشان می‌دهد.



شکل ۴. ترکیب رنگی کاذب تصویر CASI (۱/۶۸/۴).
B=۴۶۸/۱، G=۶۲۰/۴، R=۸۲۷/۴، R=۸۲۷/۴ نانومتر

دسته دوم داده‌ها، شامل یک تصویر فراطیفی اخذ شده با سنجنده ROSIS^۱ است. ROSIS سنجنده فراطیفی هوابردی است که در محدوده طیفی ۴۳۰-۸۶۰ نانومتر، با قدرت تفکیک طیفی ۴ نانومتر طراحی شده است. این تصویر از دانشگاه پاویا واقع در شمال ایتالیا گرفته شده که ابعاد تصویری 340×610 پیکسل، قدرت تفکیک مکانی $1/3$ متر و 10^3 باند طیفی دارد. در منطقه‌ای که این صحنه تصویربرداری پوشش می‌دهد، نه کلاس اطلاعاتی از سوی تولیدکننده شناسایی شده است. داده‌های تصویری منطقه مورد مطالعه و موقعیت مکانی این نه کلاس در شکل ۳ نشان داده شده است. جدول ۲ نیز تعداد نمونه و نوع کلاس‌های داده‌های واقعیت زمینی را نشان می‌دهد.



شکل ۳. ترکیب رنگی کاذب باندهای 10^3 ، 56 ، 10 داده‌های ROSIS و نقشه واقعیت زمینی

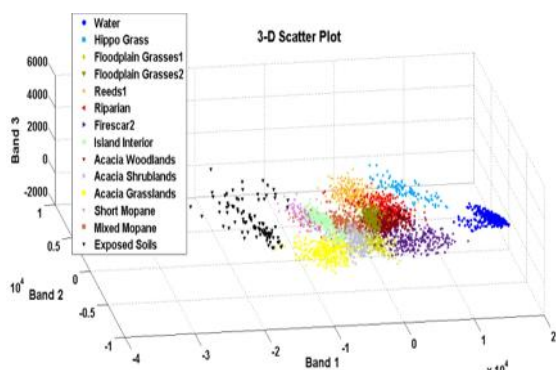
جدول ۲. تعداد نمونه و نوع کلاس‌های داده‌های واقعیت زمینی

ROSIS در تصویر		
Code	Class	Sample Size
1	Asphalt	6631
2	Meadows	18649
3	Gravel	2099
4	Trees	3064
5	Painted metal sheets	1345
6	Bare Soil	5029
7	Bitumen	1330
8	Self-Blocking Bricks	3682
9	Shadows	947

۳-۳- پیش‌پردازش داده‌های تصویری
در این تحقیق، پیش از پیاده‌سازی مدل‌های خوش‌بندی FCM و GK، نخست از تبدیل PCA^۲ جهت کاهش تعداد باندها، حذف وابستگی بین باندها و جداسازی نویز داده‌ها در داده‌های تصویری استفاده شده است (Jie et al., 2008) (Richards, 2012).

1. reflective optics system imaging spectrometer
2. principal component analysis

برای سه باند نخست تبدیل PCA نشان می‌دهد.



شکل ۵. نمودار پراکندگی سه بعدی چهارده کلاس تصویر Hyperion

در تصویر ROSIS کلاس‌های ۱، ۲ و ۶ (آسفالت، چمنزار و خاک بایر) کلاس‌های یکنواختی نیستند و گاه شامل کلاس‌های ناشناخته دیگر می‌شوند. این مطلب در شکل ۶ به وضوی، قابل مشاهده است.



شکل ۶. غیریکنواختی کلاس‌های ۱، ۲ و ۶
 آسفالت، جمنزار و خاک باز) در تصویر ROSIS

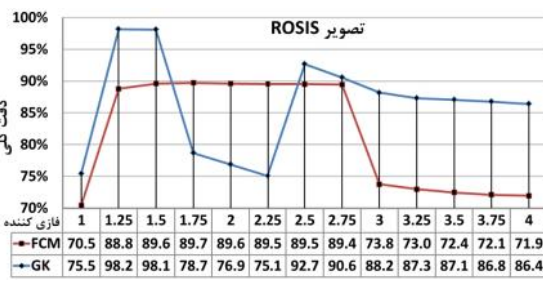
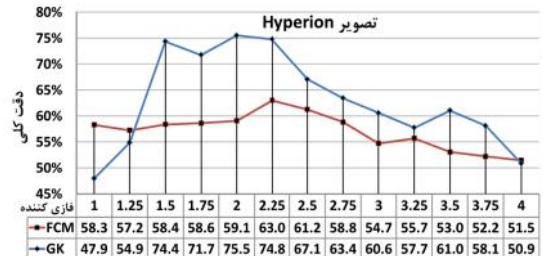
کلاس آسفالت شامل خطوط ترافیک و جداول است. کلاس چمنزار دارای تراکم متفاوت در مناطق مختلف تصویر است. همچنین کلاس خاک بایر، دروازه، کلاسی واحد نیست و چند کلاس ناشناخته دیگر را نیز شامل می‌شود. غیریکنواختی این کلاس‌ها در امضاهای طیفی آن‌ها نیز مشهود است، به‌طوری‌که محدوده داخل آن‌ها امضاهای طیفی با اختلاف فاحش را دربر دارد. افزون بر این، کلاس‌های ۳ و ۸ از نظر طیفی به هم بسیار شبیه‌اند و امضای طیفی آن‌ها به یکدیگر نزدیک است. امضای طیفی میانگین این دو کلاس در شکل ۷ نشان داده شده است.

کاهش تعداد باندها سبب پایین آمدن زمان پردازش داده‌ها خواهد شد. تبدیل PCA مبدأ را به میانگین داده‌ها انتقال می‌دهد و محورهای متعامد فضای طیفی را به گونه‌ای دوران می‌دهد که واریانس داده‌ها بیشینه شود. خروجی تبدیل PCA تصویری با تعداد باندهای برابر با تصویر ورودی است که این باندها براساس مقدار واریانس یا میزان اطلاعات مرتب شده‌اند. به‌طوری‌که اولین باند بیشترین اطلاعات، و آخرین باند کمترین اطلاعات را دربر دارد. از آنجاکه باندهای آخر واریانس بسیار کوچکی دارند، نویز محسوب می‌شوند. تبدیل PCA می‌تواند هم براساس ماتریس کوواریانس و هم براساس ماتریس همبستگی انجام شود. در این مقاله، تبدیل PCA براساس ماتریس کوواریانس، صورت گرفته است.

البته آزمایش‌های انجام‌شده روی داده‌های فراتصیفی مورد استفاده، نشان داد که مدل خوش‌بندی GK تصویر خروجی PCA را بهتر از تصویر اصلی طبقه‌بندی می‌کند. زیرا این مدل در خوش‌بندی تصویر اصلی خوش‌های منطبق برهم تولید و چندین خوش را با هم ادغام می‌کند. بنابراین، می‌شود گفت مدل خوش‌بندی GK روی تصویر خروجی PCA به نتایج بهتری منجر می‌شود. این امر ممکن است به این دلیل باشد که باندها در تصویر خروجی PCA مستقل، ولی در تصویر اصلی وابسته‌اند زیرا مدل خوش‌بندی GK اغلب در خوش‌بندی داده‌های وابسته به هم چهار مشکل

پس از اعمال تبدیل PCA روی داده‌های تصویری فراتلیفی، چند باند نخست تصویر خروجی جهت خوشبندی انتخاب شد. در تصاویر Hyperion و ROSIS، سه باند نخست و در تصویر CASI، چهار باند نخست انتخاب شده است. این باندها شامل عمدۀ اطلاعات تصویری موجود در داده‌های فراتلیفی‌اند، به طوری که در Hyperion و CASI باندهای انتخاب شده به ترتیب، $57/57$ و $69/69$ ٪ و $40/40$ ٪ و $99/99$ ٪ انتخاب شده‌اند. شکل ۵ نمودار واریانس داده‌های تصویری را در بر دارند. شکل ۵ نمودار پر اندگه، سه بعدی جهازه کلاس تصویر Hyperion را

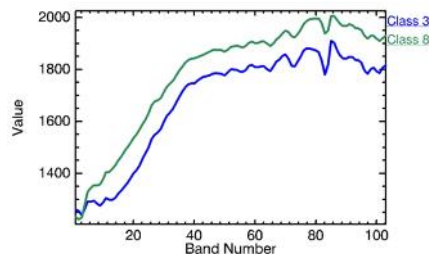
شکل ۹ دقت کلی محاسبه شده برای خروجی مدل‌های خوش‌بندی FCM و GK پیاده‌سازی شده روی تصاویر فراطیفی Hyperion و ROSIS را در ازای تغییرات m نشان می‌دهد.



شکل ۹. دقت کلی مدل‌های خوش‌بندی FCM و GK در ازای تغییرات m

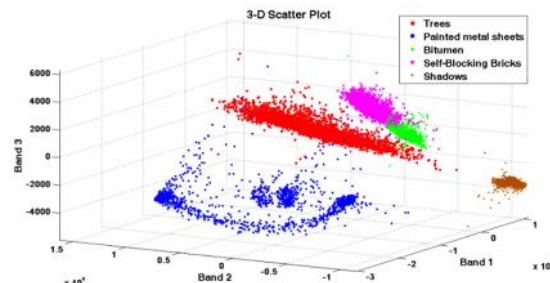
شکل ۹ نشان می‌دهد که دقت و صحت نتایج حاصل از پیاده‌سازی مدل‌های خوش‌بندی FCM و GK در ازای m های مختلف روی تصویر Hyperion، تغییرات تقریباً یکنواختی داشته ولی روی تصویر ROSIS در چند نقطه تغییری چشمگیر داشته است. به طور کلی، هر دو مدل خوش‌بندی FCM و GK در تصویر ROSIS، در ازای m های مختلف، دقت‌های کلی نسبتاً بالایی دارند. این امر به دلیل تمايز نسبتاً خوب کلاس‌های انتخاب شده در مرحله پیش‌پردازش است.

دقت کلی مدل خوش‌بندی FCM در تصویر Hyperion در ازای تغییرات m از ۱ تا ۲.۲۵ روند عمدهاً صعودی داشته و ۴.۷٪ افزایش یافته است اما در ازای تغییرات m از ۲.۲۵ تا ۴ روند عمدهاً نزولی داشته و ۱۱.۵٪ کاهش یافته است. FCM در این تصویر، در حالت $m=2.25$ بیشترین دقت را دارد. دقت کلی مدل خوش‌بندی GK در تصویر Hyperion، در ازای تغییرات m از ۱ تا ۲، روند عمدهاً صعودی داشته (از ۱ تا ۱.۵). این روند قابل توجه است) و ۲۷.۶٪ افزایش یافته، اما



شکل ۷. امضا طیفی میانگین کلاس‌های ۳ و ۸ تصویر ROSIS

در این تحقیق، کلاس‌های ۱ و ۲ و ۶ به دلیل غیریکنواختی و دربرداشتن کلاس‌های ناشناخته دیگر و کلاس ۳ به دلیل شباهت بسیار با کلاس ۸ حذف شده و فقط از کلاس‌های ۴، ۵، ۷، ۸ و ۹ تصویر ROSIS، برای ارزیابی کارآیی مدل‌های خوش‌بندی FCM و GK استفاده شده است. شکل ۸ نمودار پراکندگی سه‌بعدی پنج کلاس انتخاب شده از تصویر ROSIS را برای سه باند نخست تبدیل PCA نشان می‌دهد.



شکل ۸. نمودار پراکندگی سه‌بعدی پنج کلاس انتخاب شده از تصویر ROSIS

۳-۳-۳- ارزیابی نتایج

جهت ارزیابی کمی نتایج مدل‌های خوش‌بندی FCM و GK با شناسایی خوش‌بندی مناظر هر کلاس، ماتریس خطای برای هر مدل محاسبه شده است (Jie et al., 2008) (Aydav and Minz, 2014). از این ماتریس‌ها پارامترهای دقت طبقه‌بندی شامل دقت کلی، ضریب کاپا، دقت تولیدکننده و دقت کاربر استخراج می‌شود. دقت تولیدکننده و دقت کاربر برای هر کلاس جداگانه محاسبه می‌شوند. همچنین، برای ارزیابی پارامتر مؤثر در خوش‌بندی، یعنی فازی کننده (m)، دقت کلی برای هر یک از این مدل‌ها در ازای m های مختلف محاسبه شده است. هدف از این امر تعیین مقدار بهینه m است.

قطري ماترييس خطا صفر يا نزديك به صفر مي‌شود که اين دقت کلي را بسيار کاهش مي‌دهد. جدول ۳ تعداد کلاس‌هاي بدون خوشة متناظر را برای تصاویر فراتيفی Hyperion و ROSIS در ازای تغييرات m نشان مي‌دهد.

مقاييسه نتایج جدول ۳ و مقادير دقت کلي در شکل ۹ نشان مي‌دهد که وجود یا نبود کلاس بدون خوشة متناظر اغلب باعث تغيير ناگهانی در مقدار دقت کلي شده است. با مقاييسه دقت کلي مدل‌های خوشه‌بندی FCM و FCM در ازای m بهينه در شکل ۹ می‌شود نتيجه گرفت که مدل خوشه‌بندی GK دقت طبقه‌بندی را $\approx 12.5\%$ برای تصوير Hyperion و $\approx 4.5\%$ برای تصوير ROSIS افزایش داده است. همچنان، با بررسی کلي اين دقت‌ها، می‌شود ديد که مدل‌های خوشه‌بندی FCM و GK، به ترتیب، در ازای $m=2.25$ و $m=1.5$ در هر دو تصوير Hyperion و ROSIS به نتایج با دقت خوبی منجر شده‌اند. در اين حالت نيز، مدل خوشه‌بندی GK دقت طبقه‌بندی را $\approx 11.4\%$ برای تصوير Hyperion و $\approx 8.6\%$ برای تصوير ROSIS افزایش داده است.

جدول‌های ۴ و ۵ ضريب کاپا، دقت کلي، دقت توليدکننده و دقت کاريبر محاسبه شده برای مدل‌های خوشه‌بندی FCM و GK را در ازای مقدار بهينه m نشان مي‌دهند.

در ازای تغييرات m از ۲ تا ۴ روند عمده نزولي داشته و $\approx 24.6\%$ کاهش يافته است. همان‌طور که مشاهده می‌شود، دقت GK در اين تصوير در حالت $m=2$ دارای بيشترین مقدار است.

دقت کلي مدل خوشه‌بندی FCM در تصوير ROSIS در حالت $m=1.75$ بيشترین مقدار را داشته و در ازای افزایش m از ۱ به 1.25 و از 1.25 به 2.75 به 3 ، افزایش و کاهش چشمگيري يافته است. دقت کلي مدل خوشه‌بندی GK در تصوير ROSIS در حالت $m=1.25$ داراي بيشترین مقدار بوده و در ازای افزایش m از ۱ به 1.25 ، از 1.25 به 1.5 به 1.75 و از 1.75 به 2.25 تغيير بسيار كرده است. همان‌طور که در نتایج بالا مشاهده می‌شود، دقت کلي نتایج مدل‌های خوشه‌بندی FCM و GK در برخی از موارد تغييرات ناگهانی و دور از انتظار داشته است (بهويژه در تصوير ROSIS). دليل اصلی کاهش ناگهانی دقت کلي در اين موارد، اين است که پس از ايجاد ماترييس خطا در اين موارد، پيکسل‌های دو کلاس در يك خوشه (خطاي commission) و پيکسل‌های کلاسي ديجر در دو خوشه (خطاي omission) قرار مي‌گيرند. در نتيجه، يكى از کلاس‌ها بدون يك خوشة متناظر باقى مي‌ماند یا به عبارتی ديجر، يكى از عناصر

جدول ۳. تعداد کلاس‌هاي بدون خوشة متناظر برای تصاویر فراتيفی Hyperion و ROSIS در ازای تغييرات m

	m	1	1.25	1.5	1.75	2	2.25	2.5	2.75	3	3.25	3.5	3.75	4
Hyperion	FCM	1	2	1	1	1	0	0	0	1	0	0	0	1
	GK	0	1	0	1	0	0	1	0	0	1	1	2	3
ROSIS	FCM	1	0	0	0	0	0	0	0	0	1	1	1	1
	GK	1	0	0	1	1	1	0	0	0	0	0	0	0

جدول ۴. پارامترهای دقت طبقه‌بندی برای مدل‌های FCM و GK در ازای m بهينه در تصوير Hyperion

Code	Class	FCM ($m=2.25$)		GK ($m=2$)	
		K. C. =	O. A. =	K. C. =	O. A. =
		P. A. (%)	U. A. (%)	P. A. (%)	U. A. (%)
1	Water	99.6	99.6	100.0	100.0
2	Hippo Grass	70.3	42.3	100.0	85.6
3	Floodplain Grasses1	82.9	65.4	95.2	69.1
4	Floodplain Grasses2	80.5	63.1	83.3	69.9
5	Reeds1	71.0	80.3	71.8	78.5
6	Riparian	33.1	39.2	64.7	65.2
7	Firescar2	68.7	96.2	87.3	100.0
8	Island Interior	33.0	29.0	61.6	55.8
9	Acacia Woodlands	34.7	44.0	75.2	80.8
10	Acacia Shrublands	56.1	53.9	35.9	41.8
11	Acacia Grasslands	53.4	92.6	79.7	95.3
12	Short Mopane	92.3	54.8	95.0	75.8
13	Mixed Mopane	48.9	51.2	45.9	54.9
14	Exposed Soils	95.8	96.8	86.3	97.6

بهبود طبقه‌بندی بدون نظارت تصاویر فراطیفی با استفاده از مدل خوشبندی فازی Gustafson-Kessel

جدول ۵. پارامترهای دقت طبقه‌بندی برای مدل‌های FCM و GK در ازای m بهینه در تصویر ROSIS

Code	Class	FCM ($m=1.75$)		GK ($m=1.25$)	
		K. C. =	0.8633	K. C. =	0.9753
		O. A. =	89.71%	O. A. =	98.16%
		P. A. (%)	U. A. (%)	P. A. (%)	U. A. (%)
4	Trees	98.92	100	97.91	100
5	Painted metal sheets	73.38	99.9	96.65	99.77
7	Bitumen	99.77	65.99	96.02	94.94
8	Self-Blocking Bricks	81.75	89.45	99.27	98.46
9	Shadows	100	97.33	99.79	93.75

در هر دو مدل با هم برابر است. دقت تولیدکننده کلاس ۹ و دقت کاربر کلاس ۵ در هر دو مدل تقریباً یکسان است و دقت کاربر کلاس‌های ۷ و ۸ به‌طور میانگین ۱۹٪ و دقت تولیدکننده کلاس‌های ۵ و ۸ به‌طور FCM میانگین ۲۳.۴٪ در مدل GK بزرگ‌تر از مدل است. البته دقت کاربر کلاس ۹، ۶، ۵٪ و دقت تولیدکننده کلاس‌های ۴ و ۷ به‌طور میانگین ۲.۴٪ در مدل FCM بزرگ‌تر از مدل GK است. ارزیابی کمی نتایج را می‌شود از طریق مقایسه مراکز خوشه‌های بهدست‌آمده از مدل‌های خوشبندی FCM و GK، در ازای مقدار بهینه m و میانگین کلاس‌های متناظر نیز، بررسی کرد. در جدول‌های ۶ و ۷، فاصله اقلیدسی بین مراکز خوشه‌ها و میانگین کلاس‌ها برای هر مدل محاسبه شده است.

دقت‌های بهدست‌آمده برای تصویر Hyperion در جدول ۴ نشان می‌دهد که در اغلب موارد، دقت تولیدکننده و دقت کاربر در مدل GK بهتر از مدل FCM است. زیرا همان‌طور که مشاهده می‌شود، دقت تولیدکننده کلاس‌های ۱، ۲، ۳، ۴، ۵، ۶، ۷، ۸، ۹، ۱۰، ۱۱، ۱۲، ۱۳، ۱۴ و ۱۵ به‌طور میانگین ۱۷.۶٪ و دقت کاربر کلاس‌های ۱، ۲، ۳، ۴، ۵، ۶، ۷، ۸، ۹، ۱۰، ۱۱، ۱۲، ۱۳، ۱۴ و ۱۵ به‌طور میانگین ۱۴.۶٪ در مدل GK بزرگ‌تر از مدل FCM است. در دیگر موارد، عملکرد مدل FCM بهتر بوده است، به‌طوری که دقت تولیدکننده کلاس‌های ۱۰ و ۱۴ به‌طور میانگین ۱۰.۹٪ و دقت کاربر کلاس ۵ و ۱۰ به‌طور میانگین ۶.۹٪ در مدل FCM بزرگ‌تر از مدل GK است. با بررسی دقت‌های بهدست‌آمده برای تصویر ROSIS در جدول ۵ می‌شود گفت دقت کاربر کلاس ۴

جدول ۶. مقایسه مراکز خوشه‌های بهدست‌آمده از مدل‌های FCM و GK در ازای m بهینه و میانگین کلاس‌ها در تصویر Hyperion

Code	Class	Mean	FCM ($m=2.25$)		GK ($m=2$)	
			Center of Cluster	Distance	Center of Cluster	Distance
1	Water	$\begin{bmatrix} 16346.47 \\ -1698.15 \\ 659.78 \end{bmatrix}$	$\begin{bmatrix} 16663.70 \\ -1721.09 \\ 655.02 \end{bmatrix}$	318.09	$\begin{bmatrix} 16548.68 \\ -1710.43 \\ 661.84 \end{bmatrix}$	202.60
2	Hippo	$\begin{bmatrix} 5999.66 \\ 1518.78 \\ 1310.49 \end{bmatrix}$	$\begin{bmatrix} 5699.30 \\ 1793.40 \\ -25.35 \end{bmatrix}$	1396.45	$\begin{bmatrix} 5639.37 \\ 1539.65 \\ 1245.29 \end{bmatrix}$	366.73
	Grass	$\begin{bmatrix} 859.97 \\ -1137.46 \\ -800.84 \end{bmatrix}$	$\begin{bmatrix} 984.54 \\ -1095.88 \\ -653.87 \end{bmatrix}$		$\begin{bmatrix} 585.21 \\ -1119.07 \\ -765.69 \end{bmatrix}$	
3	Floodplain	$\begin{bmatrix} 517.02 \\ 418.59 \\ 189.75 \end{bmatrix}$	$\begin{bmatrix} 378.22 \\ 653.77 \\ 12.03 \end{bmatrix}$	197.10	$\begin{bmatrix} 500.88 \\ 405.13 \\ 250.23 \end{bmatrix}$	277.61
	Grasses1	$\begin{bmatrix} -634.84 \\ 2966.79 \\ 584.35 \end{bmatrix}$	$\begin{bmatrix} -901.61 \\ 2966.29 \\ 516.23 \end{bmatrix}$		$\begin{bmatrix} -786.30 \\ 3037.12 \\ 577.54 \end{bmatrix}$	
4	Floodplain	$\begin{bmatrix} 2684.24 \\ 2494.65 \\ -19.71 \end{bmatrix}$	$\begin{bmatrix} 3729.15 \\ 2069.36 \\ -327.49 \end{bmatrix}$	275.33	$\begin{bmatrix} 3247.29 \\ 2486.00 \\ -130.21 \end{bmatrix}$	167.14
	Grasses2	$\begin{bmatrix} 2684.24 \\ 2494.65 \\ -19.71 \end{bmatrix}$	$\begin{bmatrix} 3729.15 \\ 2069.36 \\ -327.49 \end{bmatrix}$		$\begin{bmatrix} 3247.29 \\ 2486.00 \\ -130.21 \end{bmatrix}$	
5	Reeds1	$\begin{bmatrix} -634.84 \\ 2966.79 \\ 584.35 \end{bmatrix}$	$\begin{bmatrix} -901.61 \\ 2966.29 \\ 516.23 \end{bmatrix}$	1169.37	$\begin{bmatrix} 3247.29 \\ 2486.00 \\ -130.21 \end{bmatrix}$	573.85
6	Riparian	$\begin{bmatrix} 2684.24 \\ 2494.65 \\ -19.71 \end{bmatrix}$	$\begin{bmatrix} 3729.15 \\ 2069.36 \\ -327.49 \end{bmatrix}$			

ادامه جدول ۶

Code	Class	Mean	FCM (m=2.25)		GK (m=2)	
			Center of Cluster	Distance	Center of Cluster	Distance
7	Firescar2	$\begin{bmatrix} 5092.60 \\ -3121.48 \\ 213.98 \end{bmatrix}$	$\begin{bmatrix} 6823.10 \\ -3123.80 \\ 193.29 \end{bmatrix}$	1730.63	$\begin{bmatrix} 5406.65 \\ -3513.91 \\ 233.00 \end{bmatrix}$	502.98
8	Island Interior	$\begin{bmatrix} -6825.24 \\ -278.09 \\ 402.87 \end{bmatrix}$	$\begin{bmatrix} -5686.52 \\ -1108.59 \\ -358.69 \end{bmatrix}$	1601.99	$\begin{bmatrix} -7056.73 \\ 208.17 \\ 535.79 \end{bmatrix}$	554.71
9	Acacia Woodlands	$\begin{bmatrix} 3041.87 \\ 1714.83 \\ -618.98 \end{bmatrix}$	$\begin{bmatrix} 2112.18 \\ 1775.66 \\ -280.34 \end{bmatrix}$	991.30	$\begin{bmatrix} 2741.29 \\ 1687.36 \\ -600.95 \end{bmatrix}$	302.36
10	Acacia Shrublands	$\begin{bmatrix} -2220.56 \\ -649.11 \\ -681.89 \end{bmatrix}$	$\begin{bmatrix} -1422.23 \\ -394.13 \\ -573.86 \end{bmatrix}$	844.99	$\begin{bmatrix} -4173.81 \\ -913.13 \\ -402.94 \end{bmatrix}$	1990.66
11	Acacia Grasslands	$\begin{bmatrix} -7109.34 \\ -2158.84 \\ -647.85 \end{bmatrix}$	$\begin{bmatrix} -8417.27 \\ -2201.43 \\ -461.32 \end{bmatrix}$	1321.86	$\begin{bmatrix} -7410.58 \\ -2310.28 \\ -605.52 \end{bmatrix}$	339.82
12	Short Mopane	$\begin{bmatrix} -8171.08 \\ 1210.82 \\ 71.94 \end{bmatrix}$	$\begin{bmatrix} -8068.51 \\ 701.70 \\ 292.53 \end{bmatrix}$	564.25	$\begin{bmatrix} -7789.60 \\ 1046.69 \\ 93.75 \end{bmatrix}$	415.86
13	Mixed Mopane	$\begin{bmatrix} -3214.03 \\ 736.59 \\ -238.05 \end{bmatrix}$	$\begin{bmatrix} -3605.79 \\ 129.16 \\ -304.81 \end{bmatrix}$	725.88	$\begin{bmatrix} -1372.90 \\ 311.01 \\ -488.99 \end{bmatrix}$	1906.27
14	Exposed Soils	$\begin{bmatrix} -18179.46 \\ -2517.88 \\ 1815.40 \end{bmatrix}$	$\begin{bmatrix} -17764.47 \\ -2347.08 \\ 1544.25 \end{bmatrix}$	524.32	$\begin{bmatrix} -17998.82 \\ -2682.21 \\ 1517.68 \end{bmatrix}$	385.06

جدول ۷. مقایسه مراکز خوشه‌های به دست آمده از مدل‌های FCM و GK در ازای m بهینه و میانگین کلاس‌ها در تصویر ROSIS

Code	Class	Mean	FCM (m=1.75)		GK (m=1.25)	
			Center of Cluster	Distance	Center of Cluster	Distance
4	Trees	$\begin{bmatrix} 7751.05 \\ 7039.61 \\ -691.74 \end{bmatrix}$	$\begin{bmatrix} 7733.86 \\ 7499.57 \\ -650.54 \end{bmatrix}$	462.12	$\begin{bmatrix} 7855.86 \\ 7084.53 \\ -723.72 \end{bmatrix}$	118.44
5	Painted metal sheets	$\begin{bmatrix} -18540.47 \\ 1801.79 \\ -3050.90 \end{bmatrix}$	$\begin{bmatrix} -23299.38 \\ 3843.86 \\ -2819.73 \end{bmatrix}$	5183.70	$\begin{bmatrix} -18631.40 \\ 1733.64 \\ -3177.83 \end{bmatrix}$	170.37
7	Bitumen	$\begin{bmatrix} 125.01 \\ -4697.42 \\ 507.02 \end{bmatrix}$	$\begin{bmatrix} -204.57 \\ -4068.58 \\ 689.13 \end{bmatrix}$	732.96	$\begin{bmatrix} -369.49 \\ -4466.18 \\ 464.22 \end{bmatrix}$	547.57
8	Self-Blocking Bricks	$\begin{bmatrix} -2241.91 \\ -2109.21 \\ 2389.81 \end{bmatrix}$	$\begin{bmatrix} -3042.89 \\ -1877.31 \\ 2284.02 \end{bmatrix}$	840.56	$\begin{bmatrix} -2225.90 \\ -2118.85 \\ 2388.90 \end{bmatrix}$	18.71
9	Shadows	$\begin{bmatrix} 9869.00 \\ -10470.67 \\ -3439.16 \end{bmatrix}$	$\begin{bmatrix} 9808.14 \\ -10244.49 \\ -3401.70 \end{bmatrix}$	237.20	$\begin{bmatrix} 9521.13 \\ -9611.35 \\ -3200.08 \end{bmatrix}$	957.40

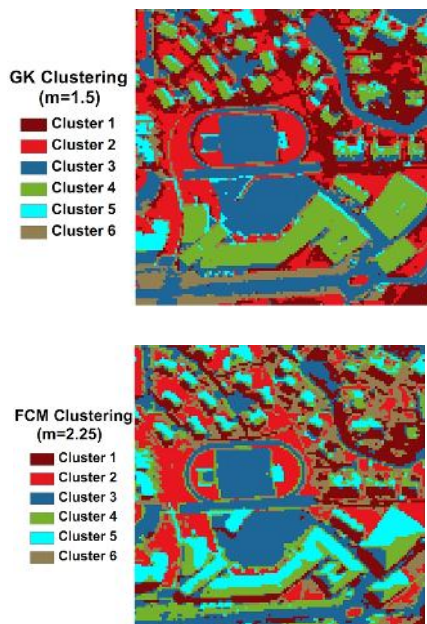
انجام شده است. شکل ۱۰ تصاویر خوش‌بندی به دست آمده از این دو مدل را در ازای مقدار بهینه m در تصاویر Hyperion و ROSIS نشان می‌دهد. تعداد خوش‌ها در این داده‌ها برابر با ۶ در نظر گرفته شده است. با مقایسه تصاویر خوش‌بندی در شکل ۱۰ و تصویر رنگی کاذب در شکل ۴، می‌شود بیان کرد مدل GK بهتر از ساختمان‌ها، خیابان‌ها و پوشش گیاهی را بسیار بهتر از مدل FCM استخراج کرده است. برای نمونه، برخی از ساختمان‌ها با بام‌های شیروانی مختلف که در اثر تغییرات زاویه تابش، میزان روشنایی و بازتاب طیفی متفاوتی دارند، در روش FCM به درستی طبقه‌بندی نشده‌اند ولی در روش GK، به درستی در یک کلاس طیفی قرار داده شده‌اند.

در ارزیابی پایانی، هزینه زمانی مدل‌های خوش‌بندی FCM و GK بررسی شده است. همه محاسبات و پردازش‌های این مقاله با لپ‌تاپی دارای پردازنده دوهسته‌ای ۲.۲ گیگاهرتز و رم دو گیگابایت، در محیط برنامه‌نویسی IDL انجام شده است. همان‌طور که پیش‌تر بیان شد، مدل‌های خوش‌بندی FCM-AO و GK با الگوریتم‌های تکراری FCM و GK پیاده‌سازی می‌شوند. در جدول ۸ هزینه زمانی هر تکرار الگوریتم‌های FCM-AO و GK-AO نشان داده است.

باید توجه داشت که هزینه زمانی در الگوریتم‌های FCM-AO و GK-AO به تعداد باندهای تصویر، تعداد پیکسل‌های تصویر و تعداد خوش‌ها وابسته است. نتایج جدول ۸ نشان می‌دهد مدل خوش‌بندی GK زمان محاسباتی بیشتری را صرف می‌کند. این امر به دلیل محاسبات اضافی و وقت‌گیر، یعنی محاسبه و به روزرسانی ماتریس M برای هر خوش و محاسبه نرم فاصله تطبیقی است.

با مقایسه مراکز خوش‌های به دست آمده از مدل‌های خوش‌بندی FCM و GK در جدول‌های ۶ و ۷، می‌شود گفت در همه موارد، به جز کلاس‌های ۱۰، ۳ و ۱۳ در تصویر Hyperion و کلاس ۹ در تصویر ROSIS مراکز خوش‌های تولیدشده در مدل خوش‌بندی GK به میانگین کلاس‌ها نزدیک‌ترند. بنابراین، می‌شود نتیجه گرفت که مدل خوش‌بندی GK در تخمین میانگین کلاس‌ها موفق‌تر بوده است.

مدل‌های خوش‌بندی FCM و GK روی تصویر CASI نیز پیاده‌سازی شده‌اند. از آنجاکه این تصویر فاقد داده واقعیت زمینی است، ارزیابی کمی آن میسر نبوده است. به همین دلیل، نتایج حاصل از خوش‌بندی این تصویر به صورت دیداری بررسی شده است. این عمل با مقایسه تصاویر خوش‌بندی به دست آمده از مدل‌های خوش‌بندی FCM و GK و تصویر رنگی کاذب (شکل ۴)



شکل ۱۰. تصاویر خوش‌بندی به دست آمده از مدل‌های FCM و GK در داده‌های تصویری سنجنده CASI

جدول ۸. هزینه زمانی هر تکرار الگوریتم‌های FCM-AO و GK-AO

Name	Sample Size	Bands (PCA)	Clusters	Computation Time of each Iteration	
				FCM-OA	GK-OA
Hyperion	3248	3	14	0.38 s	0.69 s
ROSIS	10368	3	5	0.41 s	0.76 s
CASI	16384	4	6	0.73 s	1.43 s

۴- نتیجه‌گیری

فراهم آوردن امکان دسترسی به داده‌های تصویری Hyperion؛ و پروفسور Michel Roux از مدرسه‌عالی مخابرات پاریس، برای در اختیار قرار دادن تصاویر سنجش CASI سپاسگزاری کنند. همچنین از نظرها و پیشنهادهای داوران محترم نشریه علمی-پژوهشی سنجش از دور و GIS ایران که موجب بالا بردن سطح علمی و رفع کاستی‌های این پژوهش شد، سپاسگزاری ویژه می‌شود.

۶- منابع

- Abonyi, J. & Feil, B., 2007, **Cluster Analysis for Data Mining and System Identification**, Birkhäuser Basel, Boston, Berlin.
- Aydav, P.S.S. & Minz, S., 2014, **Soft Subspace Fuzzy C-Means with Spatial Information for Clustering of Hyperspectral Images**, Journal of Basic and Applied Engineering Research, 1(7): 38-42.
- Babuška, R., 2001, **Fuzzy and Neural Control, Control Engineering Laboratory**, Faculty of Information Technology and Systems, Delft University of Technology, the Netherlands.
- Babuška, R., Veen, P.J.v.d. & Kaymak, U., 2002, **Improved Covariance Estimation for Gustafson-Kessel Clustering**, In Proceedings of the IEEE International Conference on Fuzzy Systems, 2: 1081-1085.
- Bezdek, J.C., 1981, **Pattern Recognition With Fuzzy Objective Function Algorithms**, Springer, New York.
- Bezdek, J.C., Keller, J., Krisnapuram, R. & Pal, N.R., 1999, **Fuzzy Models and Algorithms for Pattern Recognition and Image Processing**, Springer Science+Business Media, New York.
- Dunn, J.C., 1973, **A Fuzzy Relative of the ISODATA Process and Its Use in Detecting Compact Well-Separated Clusters**, Journal of Cybernetics, 3(3): 32-57.
- Fan, J., Han, M. & Wang, J., 2009, **Single Point Iterative Weighted Fuzzy C-Means**

در این مقاله، مدل خوشبندی GK جهت طبقه‌بندی نظارت شده به کار رفته است. این مدل خوشبندی شکل خوش‌ها را ابربیضی فرض می‌کند و جهت‌گیری آن‌ها را در فضای p -بعدی داده‌ها متغیر در نظر می‌گیرد. افزون بر این، در مدل خوشبندی GK می‌شود برای هر خوش‌های جمی دلخواه تعیین کرد. در حالی‌که مدل خوشبندی FCM شکل همه خوش‌ها را یکسان و ابرکره فرض می‌کند. پارامتر مؤثر در عملکرد هر دو مدل خوشبندی FCM و GK، فازی‌کننده (m) است که در این تحقیق مقدار بهینه آن از طریق بررسی دقت طبقه‌بندی هر یک از این مدل‌ها، در ازای مقادیر مختلف آن، تعیین شده است. از آنجاکه داده‌های تصویری سنجش از دوری، به‌ویژه تصاویر فراتریفی، ساختار پیچیده‌ای دارند، استفاده از مدل خوشبندی GK برای خوشبندی آن‌ها مناسب‌تر به نظر می‌رسد. آزمون‌های انجام‌شده روی تصاویر فراتریفی نشان داد که استفاده از مدل خوشبندی GK، به جای مدل خوشبندی FCM، دقت طبقه‌بندی تصاویر فراتریفی را بهبود می‌بخشد. از دیگرسو، همان‌طور که بیان شد، مدل خوشبندی GK روی تصویر خروجی PCA به نتایج بهتری منجر می‌شود. این ویژگی مدل خوشبندی GK مزیت به شمار می‌آید زیرا لزوم تبدیل PCA باعث کاهش تعداد باندها و، به تبع آن، افزایش سرعت پردازش می‌شود. با وجود این، مدل خوشبندی GK هزینه زمانی بیشتری را صرف می‌کند و همچنین، برای تعیین حجم هر خوش، به اطلاعات قبلی نیاز دارد که عموماً موجود نیست.

۵- سپاسگزاری

نویسنده‌گان بر خود لازم می‌دانند از آقای پروفسور Paolo Gamba از آزمایشگاه ارتباطات و سنجش از راه دور دانشگاه پاویا (ایتالیا)، برای در دسترس قرار دادن داده‌های تصویری ROSIS؛ محققان سنجش از دور مرکز تحقیقات فضایی دانشگاه تگزاس در Austin، برای

- Sadykhov, R.Kh., Ganchenko, V.V. & Podenok, L.P., 2009, **Fuzzy Clustering Methods in Multispectral Satellite Image Segmentation**, International Journal of Computing, 8(1): 87-94.
- Shah, C.A., Watanachaturaporn, P., Varshney, P.K. & Arora, M.K., 2003, **Some Recent Results on Hyperspectral Image Classification**, Advances in Techniques for Analysis of Remotely Sensed Data, IEEE Workshop on, 346-353.
- Timm, H., Borgelt, C., Doring, C. & Kruse, R., 2004, **An extension to possibilistic fuzzy cluster analysis**, Elsevier, Fuzzy Sets and Systems, 147(1): 3-16.
- Tran, T.N., Wehrens, R. & Buydens, L.M.C., 2003, **SpaRef: A Clustering Algorithm for Multispectral Images**, Elsevier, Analytica Chimica Acta, 490(1-2): 303-312.
- Tsai, C.-F., Wu, H.-C. & Tsai, C.-W., 2002, **A New Data Clustering Approach for Data Mining in Large Databases**, Parallel Architectures, Algorithms and Networks, I-SPAN '02. Proceedings. International Symposium on, 278-283.
- Turčan, A., 2003, **Fuzzy C-Means Algorithms in Remote Sensing**, 1st Slovakian-Hungarian Joint Symposium on Applied Machine Intelligence (SAMI).
- Xie, J. & Zhang, X., 2012, **Clustering of Hyperspectral Image Based on Improved Fuzzy C Means Algorithm**, Journal of Convergence Information Technology, 7(12): 320-327.
- Gustafson, D.E. & Kessel, W.C., 1979, **Fuzzy Clustering With a Fuzzy Covariance Matrix**, IEEE, 761-766.
- Jie, Y., Peihuang, G., Pinxiang, C., Zhongshan, Z. & Wenbin, R., 2008, **Remote Sensing Image Classification Based on Improved Fuzzy c-Means**, Geo-spatial Information Science, 11(2): 90-94.
- Lu, Q., Huang, X. & Zhang, L., 2014, **A Novel Clustering-Based Feature Representation for the Classification of Hyperspectral Imagery**, Remote Sensing, 6(6): 5732-5753.
- Naeini, A.A., Niaziardi, S., Namin, S.R., Samadzadegan, F. & Homayouni, S., 2013, **A Comparison Study Between Two Hyperspectral Clustering Methods: KFCM and PSO-FCM**, Computational Intelligence and Decision Making: Trends and Applications, Intelligent Systems, Control and Automation: Science and Engineering, Chapter 3, Springer Science, 61: 23-33.
- Pal, N.R., Pal, K., Keller, J.M. & Bezdek, J.C., 2005, **A Possibilistic Fuzzy C-Means Clustering Algorithm**, Fuzzy Systems, IEEE Transactions on, 13(4): 517-530.
- Richards, J.A., 2012, **Remote Sensing Digital Image Analysis**, Springer, London.
- Rosenberger, C. & Chehdi, K., 2003, **Unsupervised Segmentation of Multi-Spectral Images**, International Conference on Advanced Concepts for Intelligent Vision Systems (ACIVS2003), Ghent, Belgium, 1-6.